

(The Turkish Journal of Pathology)

# OTOPSİ OLGU SUNUMU

## AKONDROPLAZİ

Dr. Nurcan SALMAN\*, Doç. Dr. Ömer YERCİ\*, Uzm. Dr. Ahmet BAYER\*, Yard. Doç. Dr. Sema ÖZÜYSAL\*, Doç. Dr. M. Yurtkuran SADIKOĞLU\*\*

**ÖZET:** Miadında sezaryenle doğan ve 30 dakika yaşayan erkek bebeğin otopsisinde makrocefali burun kökü basıklığı, göğüs kafesi çöküklüğü, ekstremitelerin kısalığı gibi makroskopik bulgular mevcuttu. Radyografide vertebralalar mevcut ve bulgular akondroplazi ile uyumlu idi. Vertebralalar ile dizden alınan kesitlerin mikroskopisi de akondroplaziyi destekliyordu.

**ANAHTAR KELİMELER:** Akondroplazi, platspondili.

**SUMMARY:** PRESENTATION OF AN AUTOPSY CASE (ACHONDROPLASIA): Autopsy requested on a male baby who delivered in term by cesarian section and lived a proximally 30 minutes after delivery. Gross autopsy findings were macrocephaly, depressed nose ridge and thorax, short extremities. Radiological findings revealed vertebrae consistent with achondroplasia. Microscopic examinations of the sections taken from vertebrae and knee confirmed the radiological diagnosis of achondroplasia.

**KEY WORDS:** Akondroplasia, platyspondyly.

### GİRİŞ

Akondroplazi, kondrodisplazilerin bir subgrubudur (1). Kısa ekstremiteli çocukların en genel formudur (1-7). 1/70 000 ile 1/15 000 doğumda gözlenir (2). Radyoloji ve kliniği son derece spesifiktir (3). Her ne kadar otozomal dominant geçişle olduğu düşünülse de % 80-90 hastada spontan olarak meydana gelmektedir (2,3). Son zamanlarda hastalığın prenatal teşhisi ultrasonografi ile olası olmaktadır (2).

### OLGU SUNUMU

Miadında sezaryenle doğan olgumuz doğduğunda canlı idi. 30 dakika yaşadıktan sonra eksitus oldu.

Ailesinin isteği ile Uludağ Üniversitesi Patoloji anabilim dalında otopsi yapıldı. Ailede daha önceki kuşaklarda akondroplazi hikayesi yoktu.

Makroskopik olarak olgu (Resim 1), tepe-topuk mesafesi 44 cm, 3900 gram ağırlığında erkek bebektir. Burun basık, frontal belirgin olmak üzere kafa büyük (Baş çevresi 44 cm) görünümdeydi. Ön fontanel açıklığı 5x5 cm idi.

Ekstremiteler vücuda oranla kalın ve kısa görünümde parmak ucu omuz mesafesi 13 cm, ayak topuğu kalça mesafesi 13 cm idi. Parmaklar kısa ve kütür idi. Göğüs ve batın boşluğu açıldığında göğüs kafesinin yukarı kısmının belirgin bir şekilde dar olduğu gözlandı.

Kalpteki interatrial septal defekt dışında organlarda makroskopik herhangi bir patoloji saptanmadı. Kafa derisi altı ve periost altında yaygın kanamaları mevcuttu.

Mikroskopik olarak, organlarında herhangi bir patoloji bulunamadı. Diz ve vertebralardan hazırladığımız kesitler tani koymuştu (Resim 2). Özellikle diz ekleminden hazırladığımız kesitlerde, endokondral kemikleşmenin büyüğ-



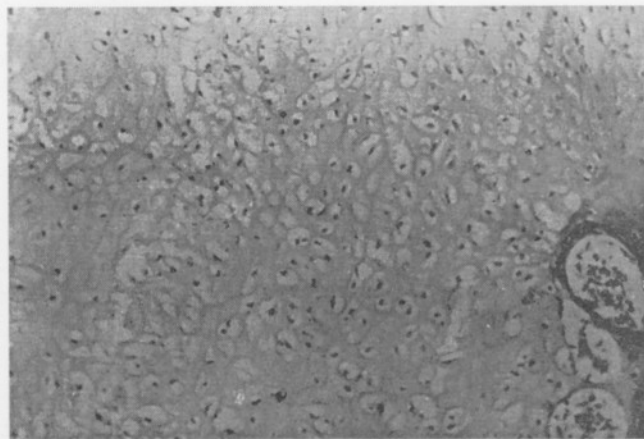
**Resim 1.** Akondroplazili bebeğin makroskopik olarak görüntüsü

me plağında zon 2 (=proliferasyon) ve zon 3 (=hipertrofi) de daralma, düzgün kolonlar yapmış kondrositlerin yerini dağınık yerleşmiş kondrositlerin aldığı dikkati çekti.

Postmortem çekilen direkt radyografide kafa kaidesi daralmıştı. Buna bağlı olarak kalvaryum-kafa kaidesi oranı bozulmuştu (Resim 3).

\* Uludağ Ün. Tip Fak. Patoloji ABD

\*\*Uludağ Ün. Tip Fak. Radyoloji ABD

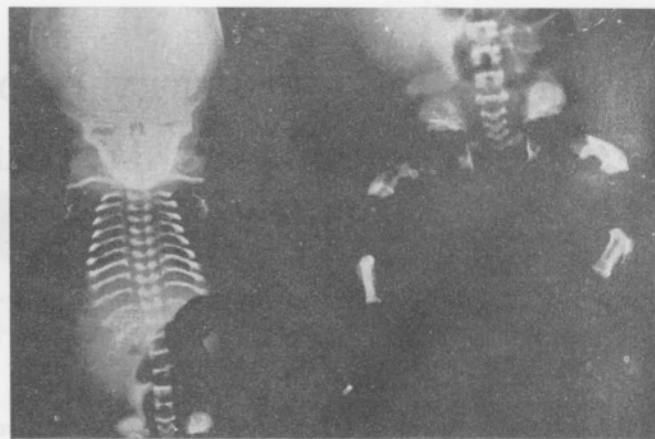


**Resim 2:** Diz ekleminden hazırladığımız kesitlerde, büyümeye plağından Zon 2 ve Zon 3'de daralma izlendi H.E.x400

Vertebralarda, servikalden lomber bölgeye doğru interpediküler mesafe normalin tersine gittikçe daralmıştı.

Özellikle ekstremitelerde çok belirgin olarak uzun kemikler kısa ve kalın olarak izlenmektedir. Her iki humerus distal metafizlerinde daha belirgin olan, metafizlerin V şeklini aldıgı dikkat çekmekteydi.

Pelviste iliak kanatların asetabulum kesimi gelişmemiştir. Sakro iliak eklem görülememiştir.



**Resim 3:** Akondroplazili bebeğin postmortem çekilen radyografisi.

Son zamanlarda özellikle heterozygous çocuklarda uzun ve kısa süreli GH (Growth Hormon) tedavisinin önemli oranda etkiler yaptığı saptanmıştır (6,7).

William ve ark.'nın 1978'de 400 akondroplazili çocukların yaptıkları standart büyümeye çalışmalarında erkek için tepe-topuk mesafesi  $48+2$  SD (Standart sapma), baş çevresi için  $39+2$  SD olarak rapor edilmiştir (3).

Bizim olgumuz, makroskopik olarak frontal bölge belirgin olmak üzere baş çevresinin büyük olması, göğüs kafesinin dar, ekstremitelerin kısa olması ile akondroplazik bir görünüm vermektedir. Olgumuzda baş çevresi 44 cm, tepe-topuk mesafesi 44 cm idi. Kalpte interatrial septal defect dışında organlarda herhangi gros patolojiye rastlanmadı.

Mikroskopik olarak dizden hazırladığımız kesitlerde, uzun kemiklerin büyümeye plaklarında hipertrofi ve proliferasyon zonunda gerileme ile buradaki kondrositlerin normalden daha büyük boyutlarda olduğu ve düzeniz dağıldığı izlendi.

Radyolojik olarak ekstremitelerde daha belirgin olan uzun kemiklerin kısa ve kalın gözlenmesi, pelviste iliak kanadın asetabulum kesiminin gelişmemiş olması, sakro-iliak eklemiñ izlenmesi yanısıra özellikle vertebralarda normalin tersine interpediküler aralığının daralması akondroplazi için tanı koymadır.

## KAYNAKLAR

- Yang SS. The Skeletal System. In: Wigglesworth JS, Singer DB, editors. Textbook of Fetal and Perinatal Pathology. 1st Boston. Blackwell Scientific Publications, 1991:1184-87.
- Gary A, Bellus, Cathleen S. Escalion, Rosa Ortiz de Luna. First trimester prenatal diagnosis in couple at risk for homozygous achondroplasia The Lancet 1994;344:1511-1512.
- William A. Horton, Jerome. I. Rotter, David L. Rimoin. Standart growth curves for achondroplasia. J Pediatr 1978;93:435-438.
- Andrew E. Rosenberg. The Skeletal System and Soft Tissue Tumors. In: Cotran RS-Kumar V, Robbins SL, editors. Robbins Pathologic Basis of Disease. 5 th ed. Philadelphia: Saunders, 1994:1218.
- Timothy C. Ryken, Arnold H. Menezes. Cervicomedullary compression in achondroplasia. J Neuro surgery 1994;81:43-48.
- Yoshikazu Hishi, Michi Kajiyama, Chinichino Miyagawa, Mitsuhiro Fujurara. Growth hormone therapy in achondroplasia. Acta Endocrinologica 1993;128:394-396.
- L. Lyndon Key, Jr. Alan, J. Gross. Session II. Dysmorphic syndromes in the national cooperative growth study. J Pediatr 1996;128:14-18.